

4.4、热力学第一定律对理想气体的应用

- 等体、等压、等温过程

热力学第一定律

$$Q = \Delta U + W'$$

系统所吸的热量 Q 内能变化 ΔU 系统对外做功 W'

- ΔU 、 Q 和 W' 三者中知其二，则知其三
- W' 与过程有关, 必须有过程方程。

用热力学第一定律研究理想气体的具体过程中
内能变化 ΔU ，系统对外做功 W' ，系统所吸的热量 Q 。

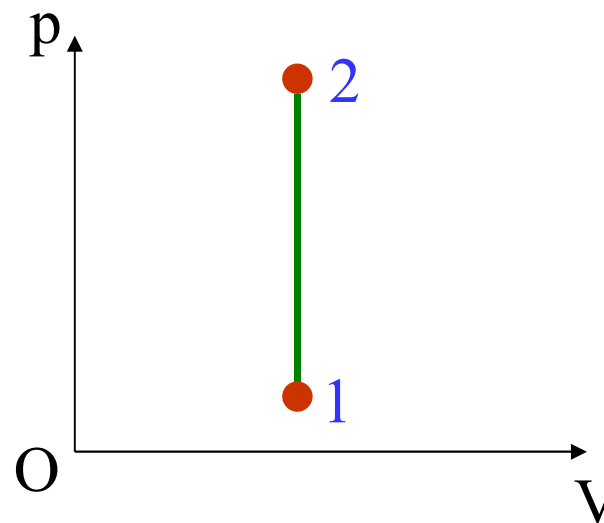
等体过程

$$\Delta V = 0 \Rightarrow W = 0. \quad \Delta U = Q$$

$$dQ = dU = \left(\frac{\partial U}{\partial T} \right)_V dT$$

$$= C_V dT,$$

$$\Delta U = \int_{T_1}^{T_2} C_V dT$$



等压过程

$$dW = -pdV,$$

$$W = -\int_{V_1}^{V_2} pdV = -p(V_2 - V_1)$$

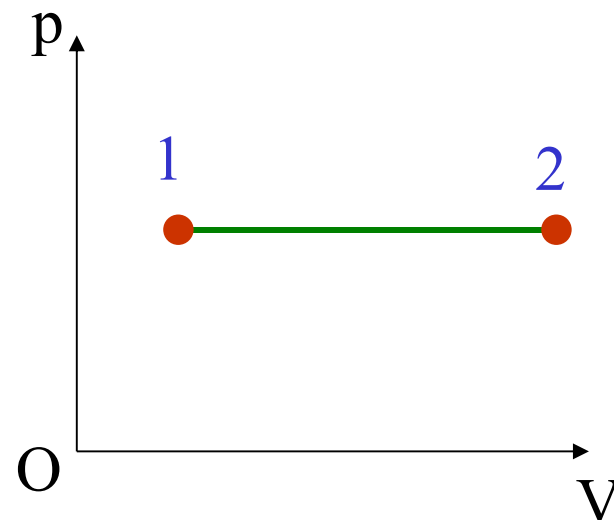
$$dQ_p = C_p dT,$$

$$Q_p(1 \rightarrow 2) = \int_{T_1}^{T_2} C_p dT = C_p \Delta T$$

第一定律: $dU = dQ + dW$

$$\Delta U = Q + W = C_p(T_2 - T_1) + [-p(V_2 - V_1)] = (C_p - \nu R)\Delta T = C_V \Delta T$$

$$Q = \Delta U - W = U_2 - U_1 + p(V_2 - V_1) = H_2 - H_1 = \Delta H$$



等压过程中系统焓的改变由系统和外界交换热量决定。

等温过程

过程方程: $PV = \text{const}$

$$U = U(T), \quad T = \text{const},$$

$$\Rightarrow \Delta U = 0$$

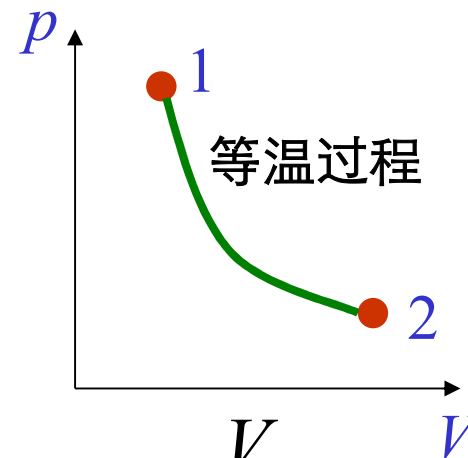
$$W' = \int_{V_1}^{V_2} P dV = \int_{V_1}^{V_2} \nu RT \frac{dV}{V} = \nu RT \ln \frac{V_2}{V_1}$$

当 $V_2 < V_1$ (等温压缩) 时, $W' < 0$,

外界对系统作正功; 系统对外界作负功。

当 $V_2 > V_1$ (等温膨胀) 时, $W' > 0$,

外界对系统作负功; 系统对外界作正功。



- 等体、等压、等温过程

系统对外做功 W'

等体过程 V 不变, $W' = 0$

等压过程 P 不变, $W' = P\Delta V$

等温过程 $PV = C$

$$W' = \int_{V_1}^{V_2} P dV = \int_{V_1}^{V_2} \nu RT \frac{dV}{V} = \nu RT \ln \frac{V_2}{V_1}$$

理想气体的内能只是温度的函数，且等于全部气体分子的热运动能量的总和：

$$U = \frac{M}{\mu} \cdot \frac{1}{2} i R T = \frac{M}{\mu} \cdot C_{V,m} T$$

- 等体、等压过程 $\Delta U = \frac{M}{\mu} \cdot C_{V,m} \Delta T$
- 等温过程 $\Delta U = 0$

- 等压过程 根据 $W', \Delta U$

由热力学第一定律：

$$Q = \Delta U + W'$$

可求出系统所吸的热量：

$$Q = \frac{M}{\mu} \cdot C_{P,m} \Delta T$$

• 绝热过程

与外界无热量交换: $dQ = 0$

由热力学第一定律

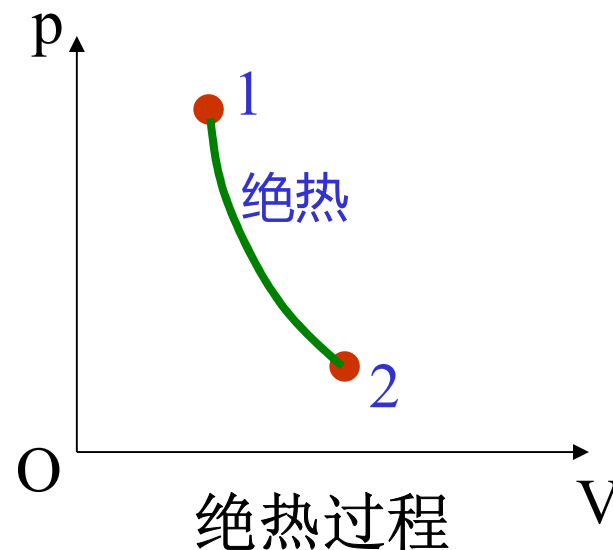
$$\frac{M}{\mu} \cdot C_{V,m} dT + PdV = 0$$

由状态方程

$$PdV + VdP = \frac{M}{\mu} \cdot R dT$$

因为: 1摩尔物质有 $C_{p,m} = C_{V,m} + R$

泊松比或绝热指数 $\gamma = \frac{C_p}{C_V}$, $C_{V,m} = \frac{R}{\gamma - 1}$, $\gamma = \frac{C_{P,m}}{C_{V,m}}$



根据以上关系，并消去状态方程中的 dT ，有：

$$\frac{1}{\gamma-1}(PdV + VdP) + PdV = 0$$

$$VdP + \gamma PdV = 0$$

$$PV^\gamma = \text{常量}$$

与状态方程联立 $PV = \nu RT$

$$TV^{\gamma-1} = \text{常量}$$

$$\frac{P^{\gamma-1}}{T^\gamma} = \text{常量}$$

绝热过程中系统对外所做的功为：

$$\begin{aligned} W' &= \int_{V_1}^{V_2} P dV = C \int_{V_1}^{V_2} \frac{dV}{V^\gamma} = \frac{C}{1-\gamma} (V_2^{1-\gamma} - V_1^{1-\gamma}) \\ &= \frac{P_1 V_1^\gamma}{1-\gamma} (V_2^{1-\gamma} - V_1^{1-\gamma}) \\ &= \frac{1}{1-\gamma} (P_1 V_1 - P_2 V_2) \end{aligned}$$

绝热过程中内能的改变为：

$$\begin{aligned} \Delta U &= -W' = \frac{1}{1-\gamma} (P_1 V_1 - P_2 V_2) = \frac{\nu R}{\gamma-1} (T_2 - T_1) \\ &= \frac{M}{\mu} C_{V,m} (T_2 - T_1) \end{aligned}$$

绝热过程的Q, W', U

- 与外界交换热量为0: $dQ = 0$

- 系统对外所做的功为:

$$W' = \frac{1}{1-\gamma} (P_1 V_1 - P_2 V_2)$$

- 内能的改变为:

$$\Delta U = \frac{M}{\mu} C_{V,m} (T_2 - T_1)$$

• 等温线与绝热线

(1) 斜率

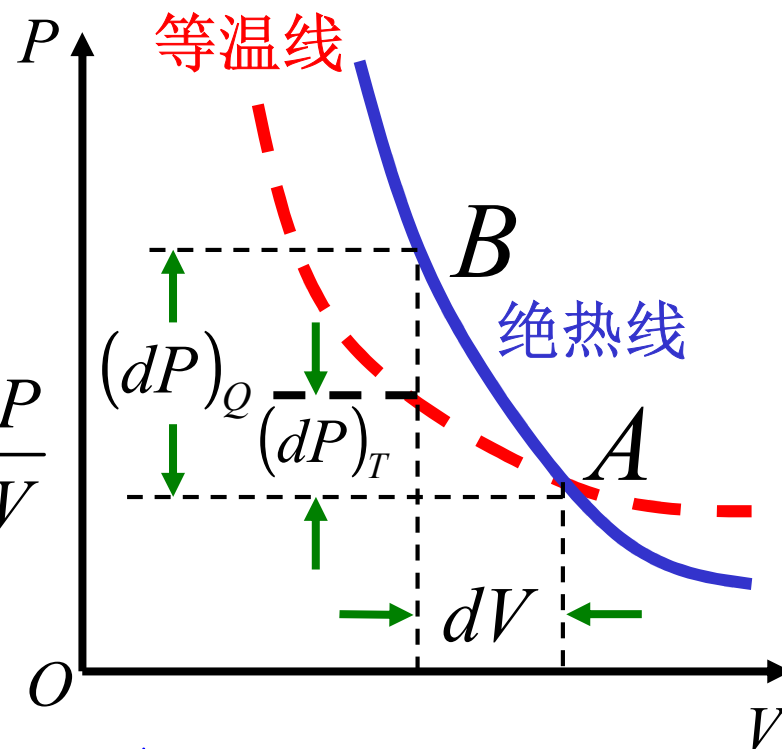
因为 $PV^\gamma = C$ 所以 $P = CV^{-\gamma}$

则 $dP = -\gamma CV^{-\gamma-1}dV$

$$\text{即 } \left(\frac{dP}{dV}\right)_Q = -\gamma V^{-\gamma-1} \cdot PV^\gamma = -\gamma \frac{P}{V}$$

$$\text{而 } \left(\frac{dP}{dV}\right)_T = -\frac{P}{V}$$

$$\text{因为 } \gamma = \frac{C_P}{C_V} > 1 \quad \text{所以} \quad \left|\left(\frac{dP}{dV}\right)_Q\right| > \left|\left(\frac{dP}{dV}\right)_T\right|$$



绝热过程在P-V图上是比等温线更陡的曲线。

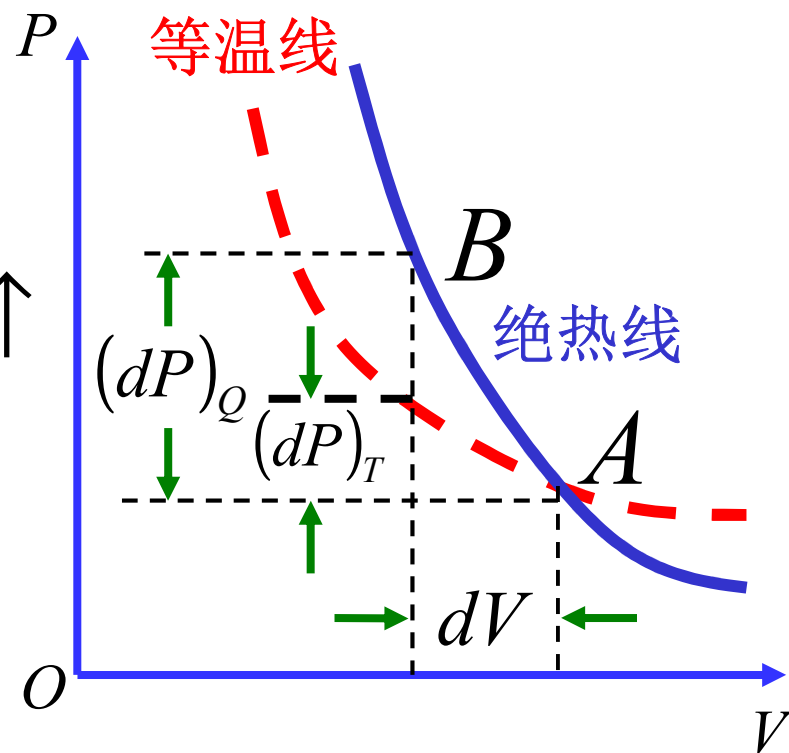
(2) 由 $P = nkT$

改变同一: $-dV$

等温过程: $n \uparrow \rightarrow P \uparrow$

绝热过程: $n \uparrow, T \uparrow \rightarrow P \uparrow$

$$\Rightarrow \left| \left(\frac{dP}{dV} \right)_Q \right| > \left| \left(\frac{dP}{dV} \right)_T \right|$$



(3) 绝热过程中:

$$dQ = 0 \quad dU = -dW' = dW$$

系统对外做功是以系统内能减小(T下降)为代价。
因此，绝热曲线比等温线更陡。

• 进一步讨论

绝热过程特征 与外界无热量交换：

$$dQ = 0$$

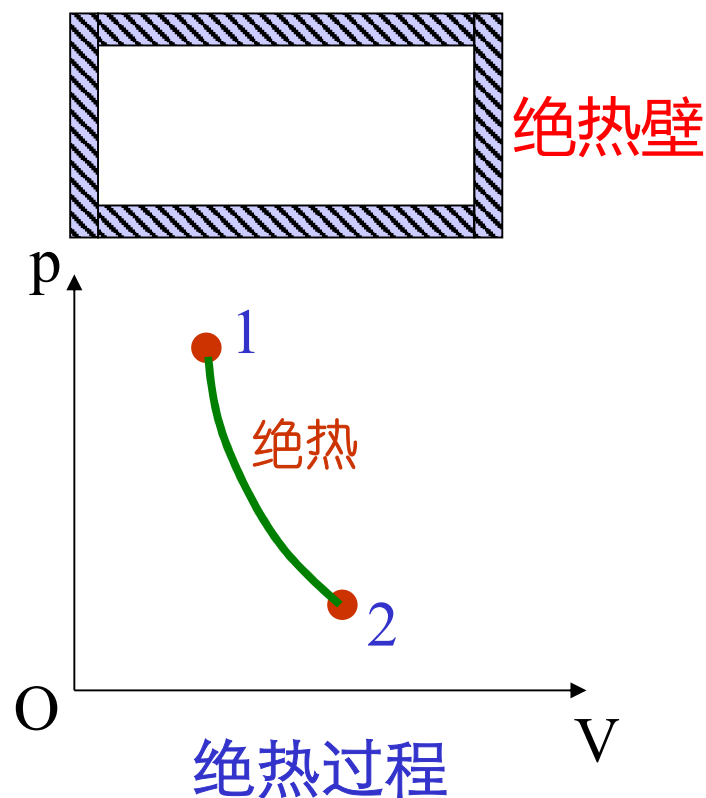
由热力学第一定律

$$dU + dW' = 0$$

W' --系统对外界作的功

即： $dW' = -dU$

适用于一切绝热过程



例子 • 理想气体准静态绝热过程

• 自由膨胀--非准静态过程

- 理想气体准静态绝热过程

1. 过程方程

绝热热力学第一定律 + 理想气体准静态的条件

| | | |
|--------|------------------------|--------|
| 绝热热I律 | $dU + dW' = 0$ | } 联立得解 |
| 理气准静态 | $\nu C_V dT + PdV = 0$ | |
| 理气状态方程 | $PdV + VdP = \nu R dT$ | |

结果: $PV^\gamma = C \quad P_1 V_1^\gamma = P_2 V_2^\gamma \cdots = P_n V_n^\gamma \cdots$

或 $TV^{\gamma-1} = C' \quad \gamma = \frac{C_P}{C_V} > 1$

2. 过程曲线

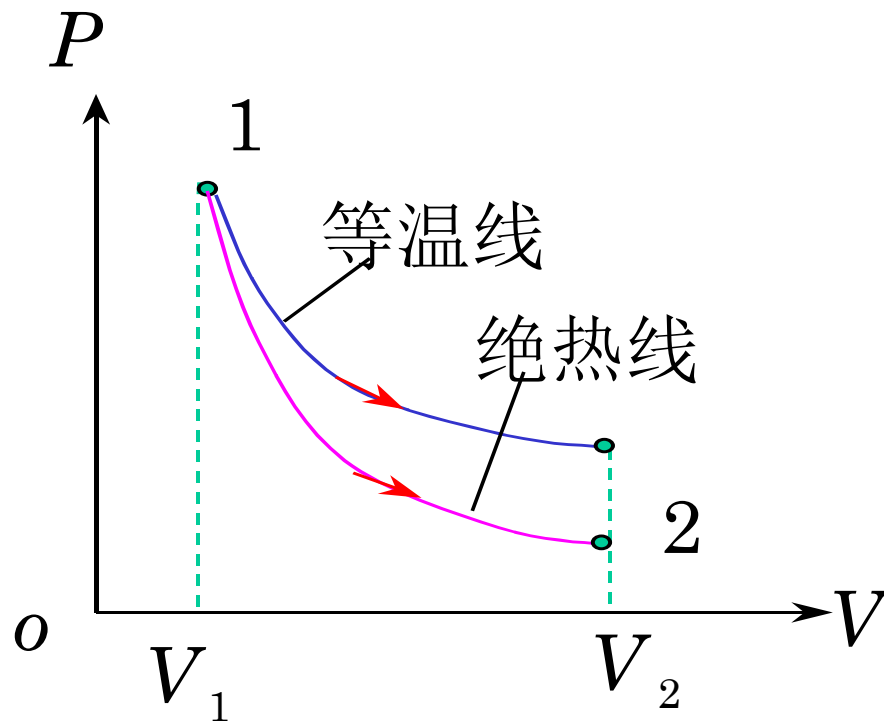
$$PV^\gamma = C$$

$$W' = -\Delta U$$

$$W' = -\nu C_V \Delta T$$

$$= \frac{P_1 V_1 - P_2 V_2}{\gamma - 1}$$

$$|\Delta U| = W' = S_{\text{曲}}$$

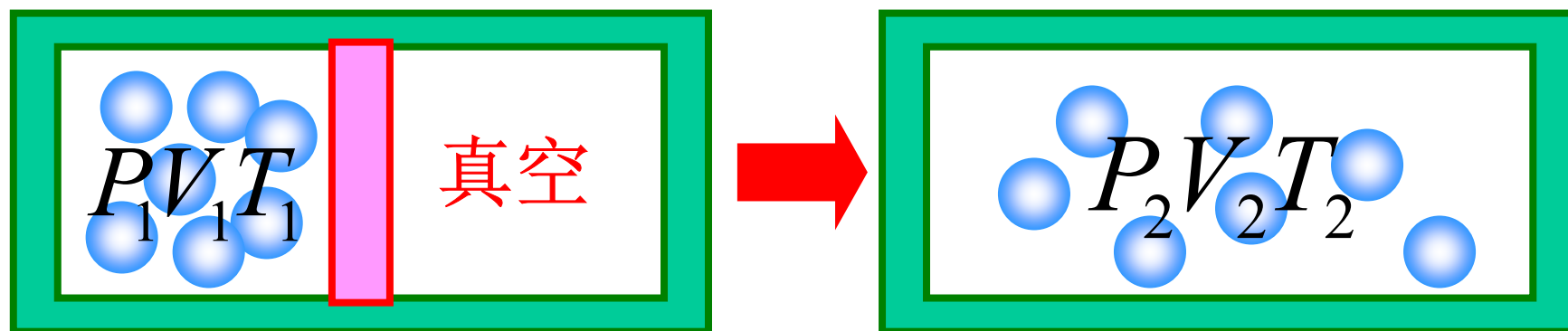


绝热过程压强减小更快的微观原因？

压强不仅因体积增大、而且因温度下降而降低

- 非静态绝热过程

例：理想气体绝热自由膨胀过程



绝热自由膨胀： $W = 0, Q = 0$

所以 $\Delta U = 0, U_2 = U_1$

即 $T_2 = T_1$ **但不是等温过程！**

由理想气体状态方程得 $P_1 V_1 = \frac{m}{M} R T_1$

$$P_2 V_2 = P_2 (2V_1) = \frac{m}{M} R T_2 = \frac{m}{M} R T_1$$

所以 $P_2 = \frac{P_1}{2}$

用绝热方程? $P_1 V_1^\gamma = P_2 V_2^\gamma = P_2 (2V_1)^\gamma$

$\Rightarrow P_2 \neq \frac{P_1}{2^\gamma}$ 错误的解法

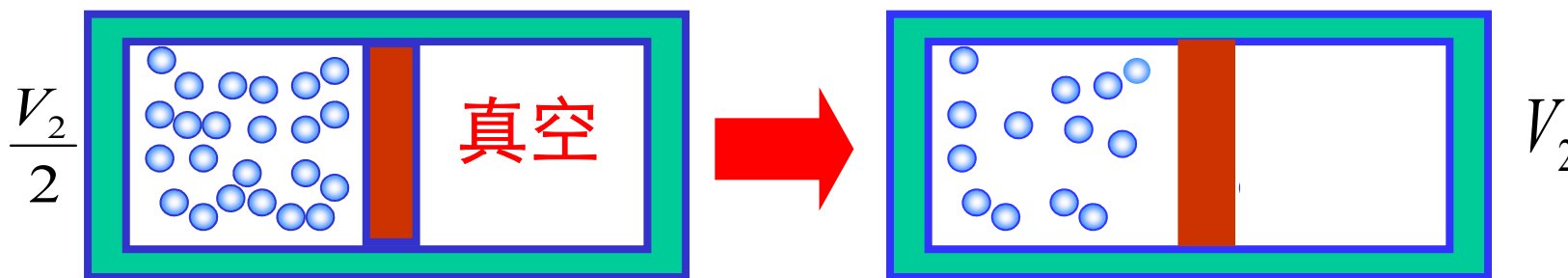
绝热方程不适用于非静态过程

- **自由膨胀**（典型的非静态过程）

特点：迅速，来不及与外界交换热量 则 $Q = 0$

自由膨胀 气体不做功，这也正是“自由”的含义。

∴ **非静态过程** ∴ **无过程方程**



办法：只能靠普遍的定律（**热力学第一定律**）

绝热热I律 $dW = -dU$ $W = -\Delta U$

因为自由膨胀 所以系统对外不作功

即

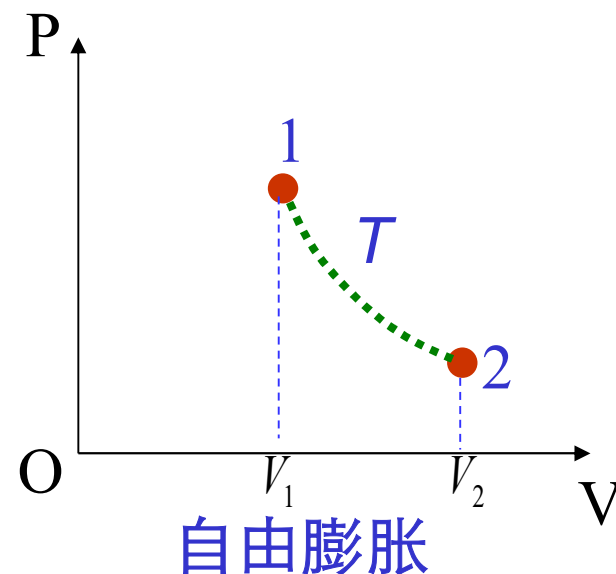
$$W = 0$$

由

$$W = -\Delta U$$

得

$$\Delta U = 0$$



理想气体 $\Delta T = 0$ 初态和末态温度相同

但不是等温过程! 虚线表示

真实气体? $\Delta T \neq 0$ 内能还与体积有关
焦、汤实验

• 多方过程

考虑较绝热过程、等温过程更一般的过程。

理想气体的实际过程可以写为多方过程：

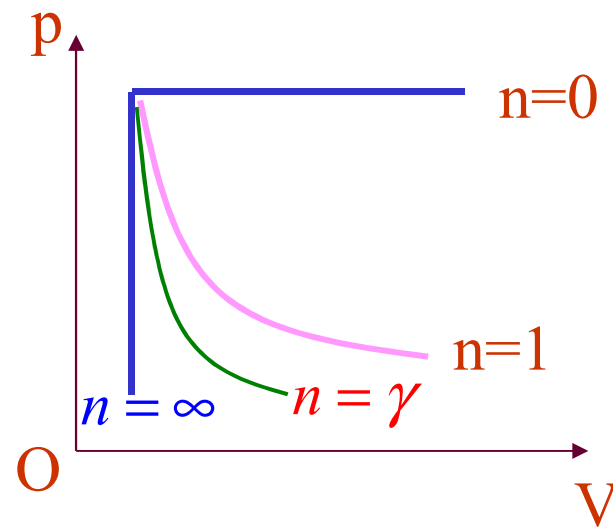
$$PV^n = \text{常量} \quad n \text{ 为多方指数。}$$

➤ 等体过程: $n \rightarrow \infty$

➤ 等压过程: $n = 0$

➤ 等温过程: $n = 1$

➤ 绝热过程: $n = \gamma$



- 多方过程

理想气体多方过程中系统对外做的功为：

$$W' = \frac{1}{n-1} (P_1 V_1 - P_2 V_2)$$

系统内能的改变为：

$$\Delta U = \frac{M}{\mu} C_{V,m} (T_2 - T_1)$$

• 多方过程

系统吸收的热量根据热力学第一定律为：

$$Q = \Delta U + W'$$

定义多方过程的摩尔热容为 $C_{n,m}$ ：

$$Q = \frac{M}{\mu} C_{n,m} (T_2 - T_1)$$

由热力学第一定律有

$$\frac{M}{\mu} C_{n,m} (T_2 - T_1) = \frac{M}{\mu} C_{V,m} (T_2 - T_1) + \frac{1}{n-1} (P_1 V_1 - P_2 V_2)$$

• 多方过程

$$\frac{M}{\mu} C_{n,m} (T_2 - T_1) = \frac{M}{\mu} C_{V,m} (T_2 - T_1) + \frac{1}{n-1} \frac{M}{\mu} R (T_1 - T_2)$$

$$\begin{aligned} C_{n,m} &= C_{V,m} - \frac{R}{n-1} \\ &= \frac{nC_{V,m} - C_{V,m} - C_{P,m} + C_{V,m}}{n-1} \\ &= \frac{nC_{V,m} - C_{P,m}}{n-1} = \frac{n-\gamma}{n-1} C_{V,m} \end{aligned}$$

这是一个普遍的关系。

$$C_{n,m} = \frac{n-\gamma}{n-1} C_{V,m}$$

➤ **等体过程:** $n \rightarrow \infty$

$$C_{n,m} = C_{v,m}$$

➤ **等压过程:** $n = 0$

$$C_{n,m} = C_{p,m}$$

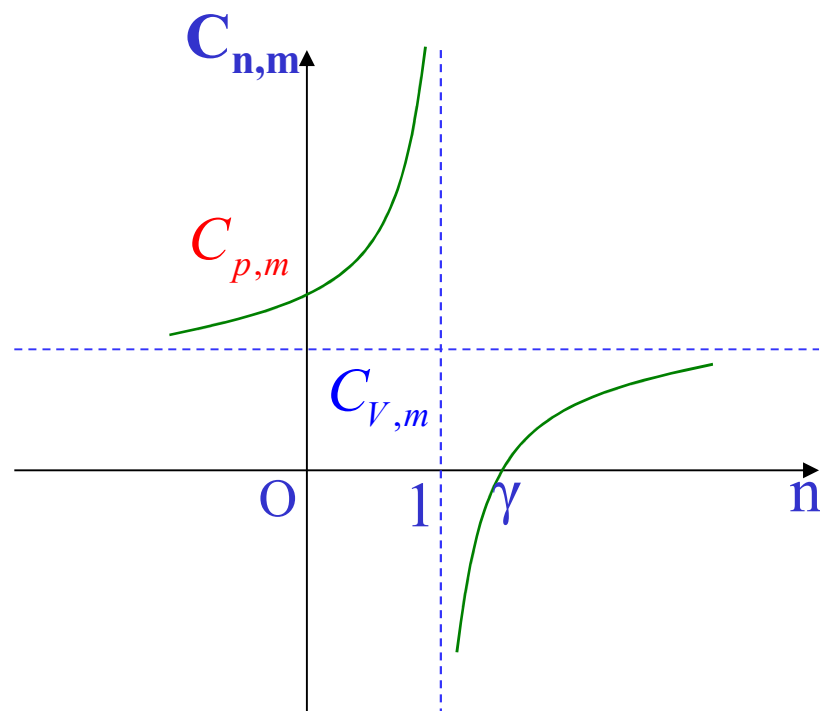
➤ **等温过程:** $n = 1$

$$C_{n,m} = \infty$$

➤ **绝热过程:** $n = \gamma$

$$C_{n,m} = 0$$

➤ **当 $1 < n < \gamma$, $C_{n,m} < 0$**



通常，热容为正，表现为正热容现象：系统的能量增加时，它的温度就会增大。

负热容现象：当系统的能量增加时，其温度反而降低。

多方过程的热容 C_n

- 分成三个区域:

$n < 1$, $1 < n < \gamma$, $n > \gamma$, 热容值分别为 正, 负, 正值

- 等温过程 $n=1$, 温度恒定, 内能不变, (吸热 对外做功)
热容为无穷

- 等压过程 $n=0$, 温度上升并对外做功, 故吸收热量且较多

- 等体过程 $n=\infty$, 温度下降, 内能降低, 功为0, 故要放出
热量 $C_v \Delta T$

- 绝热过程 $n=\gamma$, $Q=0$, 对外做功=内能减少

- n 在 $1 \sim \gamma$ 之间, 温度下降, 对外做功多于内能减少, 因此
要吸热, 吸热温降: 热容为负

理想气体准静态过程公式

| 过程 | 过程方程 | 多方指数 | 热容 C | 外界做功 W | 吸收热量 Q | 内能改变 ΔU |
|----|-----------------|----------|---------------------------|---------------------------------------|------------------------------|--------------------|
| 等体 | $V = C$ | ∞ | C_V | 0 | $C_V(T_2 - T_1)$ | $C_V(T_2 - T_1)$ |
| 等压 | $p = C$ | 0 | C_p | $-p(V_2 - V_1)$ | $C_p(T_2 - T_1)$ | $C_V(T_2 - T_1)$ |
| 等温 | $pV = C$ | 1 | ∞ | $-\nu RT \ln \frac{V_2}{V_1}$ | $\nu RT \ln \frac{V_2}{V_1}$ | 0 |
| 绝热 | $pV^\gamma = C$ | γ | 0 | $\frac{1}{\gamma-1}(p_2V_2 - p_1V_1)$ | 0 | $C_V(T_2 - T_1)$ |
| 多方 | $pV^n = C$ | n | $\frac{n-\gamma}{n-1}C_V$ | $\frac{1}{n-1}(p_2V_2 - p_1V_1)$ | $C_n(T_2 - T_1)$ | $C_V(T_2 - T_1)$ |

摩尔热容量

摩尔热容量的定义为：
$$C \equiv \frac{M}{\nu} c = \frac{1}{\nu} \frac{dQ}{dT}$$

由于 Q 是过程量，所以 C 和 c 也与过程有关。

1. 定容摩尔热容量：
$$C_V = \frac{1}{\nu} \left(\frac{dQ}{dT} \right)_V = \frac{1}{\nu} \left(\frac{\partial U}{\partial T} \right)_V$$

2. 定压摩尔热容量：
$$C_p = \frac{1}{\nu} \left(\frac{dQ}{dT} \right)_p = \frac{1}{\nu} \left(\frac{\partial H}{\partial T} \right)_p$$

3. 热容比：
$$\gamma = \frac{C_p}{C_V}$$

一般温度下， C_V 、 C_p 为常量，则：

$$\Delta U = \nu C_V \Delta T \quad \Delta H = \nu C_p \Delta T$$

思考:

1、四个等值过程中的热容分别是多少?

(1) 等容 $C_V = \frac{i}{2}R$

(2) 等压 $C_P = C_V + R$

(3) 等温 ∞

(4) 绝热 0

2、多方过程 $PV^n = C$

(1) 等容 $PV^\infty = C$

(2) 等压 $PV^0 = C$

(3) 等温 $PV^1 = C$

(4) 绝热 $PV^\gamma = C$

总结

- 理想气体内能的改变仅与温度的改变有关;
- 外界对系统做功一定对应着体积的改变;
- 系统吸收的热量由内能的改变和功共同决定;
- 绝热(和多方)过程功的公式不能用于等温过程

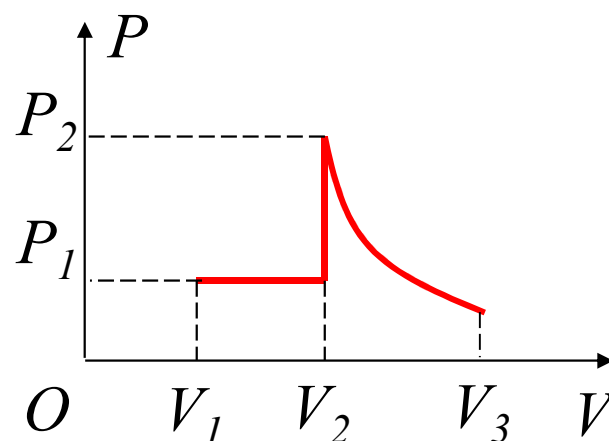
因为, 如果 $\gamma=1$ (或 $n=1$), 则公式变为 $0/0$

例1：一mol单原子理想气体在汽缸中，设汽缸与活塞无摩擦，开始时， $P_1=1.013 \times 10^5 \text{Pa}$ ， $V_1=1.0 \times 10^{-2} \text{m}^3$ ，将此气体在等压下加热，使其体积增大一倍，然后在等体下加热至压强增大一倍，最后绝热膨胀为起始温度。

- (1) 画P-V图，
- (2) 求内能的增量，
- (3) 过程中的功

解： (1) 图示

(2) 0



$$(3) A_1 = P_1(2V_1 - V_1) = 1.013 \times 10^3 J$$

$$A_2 = -\Delta E_2 = -C_{v,m}(T_1 - T_3) = \frac{-3}{2} R(T_1 - 4T_1)$$

$$\text{或 } A_2 = \frac{P_3 V_3 - P_4 V_4}{\gamma - 1} = \frac{P_3 V_3 - P_1 V_1}{\gamma - 1}$$

例2：一定量的理想气体从体积 V_1 膨胀到体积 V_2 ，经历以下几个过程：AB等压过程；AC等温过程；AD绝热过程。
问：从 $P - V$ 图上，

(1) 哪一个过程做功较多？

哪一个过程做功较少？

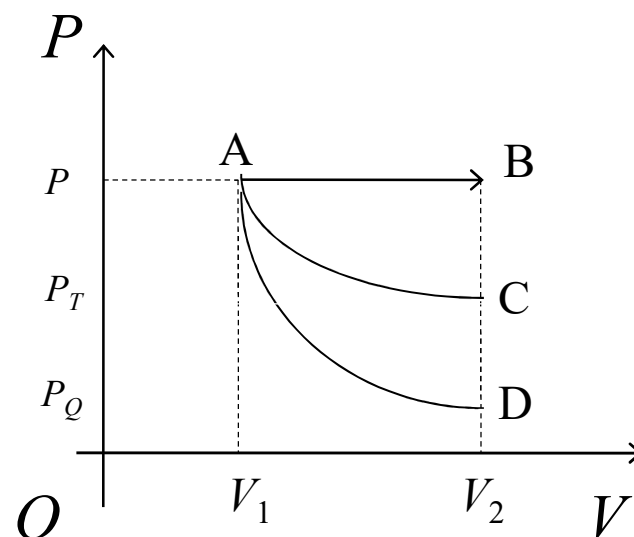
(2) 经历哪一个过程内能增加？

经历哪一个过程内能减少？

(3) 经历哪一个过程吸热最多？

解：(1) 等压过程做功最多；
绝热过程做功最少。

$$W_p > W_T > W_Q$$



(2) 等压膨胀:

系统吸热, 系统内能增加, 且对外做功;

等温膨胀:

系统吸热, 全部用来对外做功, 内能不变;

绝热膨胀:

系统不吸收热量, 靠减少系统的内能对外做功;

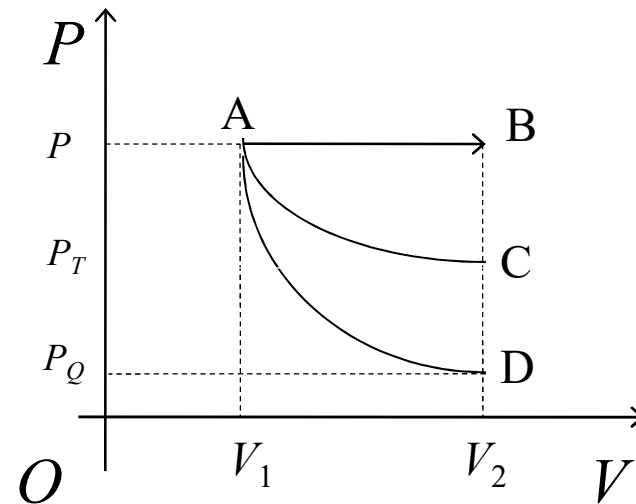
等压: 内能增加;

等温: 内能不变;

绝热: 内能减少。

(3) 等压膨胀过程吸热最多。

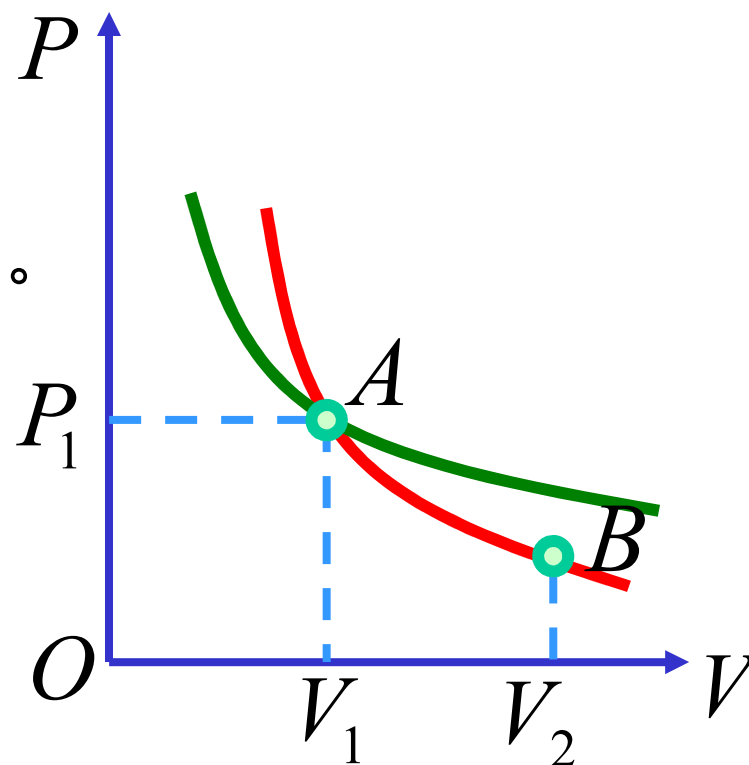
(4) 绝热线比等温线陡。



例3 某理想气体在 $P-V$ 图上等温线与绝热线相交于 A 点，如图。已知 A 点的压强 $P_1 = 2 \times 10^5 \text{ Pa}$ ，
体积 $V_1 = 0.5 \times 10^{-3} \text{ m}^3$ ，而且 A 点处等温线与绝热线的斜率之比为 0.714。现使气体从 A 点绝热膨胀至 B 点，其
体积 $V_2 = 1 \times 10^{-3} \text{ m}^3$ ，

求 (1) B 点处的压强

(2) 在此过程中气体对外作的功。



解：求斜率

等温过程：

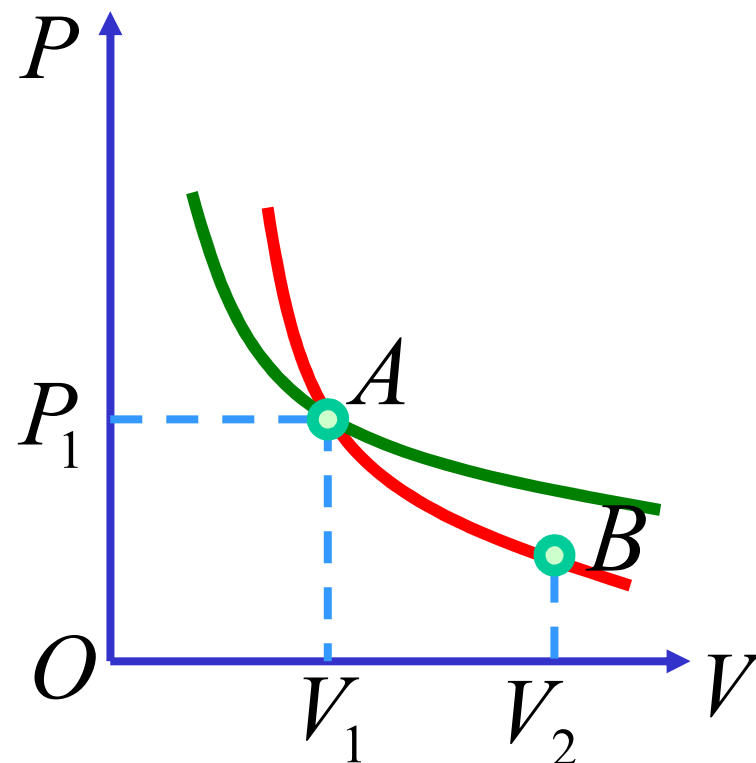
$$PV = C$$

$$PdV + VdP = 0$$

$$\frac{dP}{dV} = -\frac{P}{V}$$

绝热过程：

$$\frac{dP}{dV} = -\gamma \frac{P}{V}$$



两斜率之比为：

$$\frac{-\frac{P}{V}}{-\gamma\frac{P}{V}} = \frac{1}{\gamma} = 0.714$$

所以 $\gamma = 1.40$ 是双原子分子

(1) 由绝热方程 $P_A V_A^\gamma = P_B V_B^\gamma$

$$\begin{aligned} P_B &= P_A \left(\frac{V_A}{V_B} \right)^\gamma = 2 \times 10^5 \times \left(\frac{1}{2} \right)^{1.40} \\ &= 7.58 \times 10^4 (P_a) \end{aligned}$$

(2) 绝热功为

$$\begin{aligned} W &= \frac{1}{\gamma-1} (P_A V_A - P_B V_B) \\ &= \frac{2 \times 10^5 \times 0.5 \times 10^{-3} - 7.58 \times 10^4 \times 1 \times 10^{-3}}{1.40 - 1} \\ &= 60.5(J) \end{aligned}$$

例4：质量 m 的光滑小球，置于截面积为 S 的管中形成活塞，给小球一个上下的小扰动，求：小球的振动频率。

解：小球处于平衡位置 $x=0$ 时：

瓶内压强为 $P = P_0 + mg/S$

小球偏离平衡位置时：

- 受恢复力

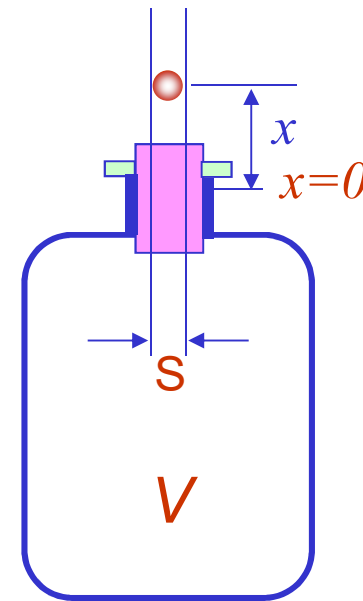
∨膨胀或收缩导致降温或升温，同时压强减小或增大

- 绝热过程

气体导热性能差，振动较快

- 准静态

压强涨落以声速传播，比小球振动的周期为短



$$pV^\gamma = \text{常数}$$

$$V^\gamma dp + \gamma p V^{\gamma-1} dV = 0 \quad \text{即} \quad dp = -\gamma p \frac{dV}{V}$$

恢复力

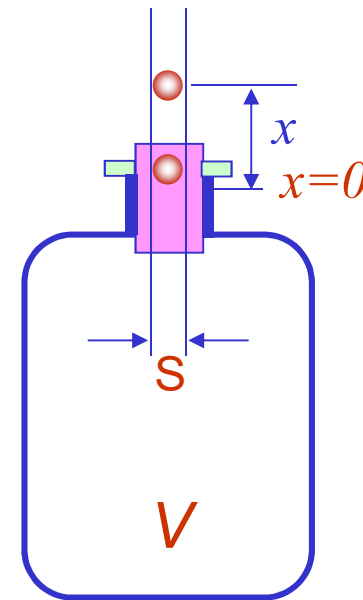
$$dF = Sdp = -\frac{\gamma p S^2}{V} dx$$

$$\propto -dx$$

所以是简谐振动。

角频率为

$$\omega = \sqrt{\frac{k}{m}} = \sqrt{\frac{\gamma p S^2}{m V}}$$



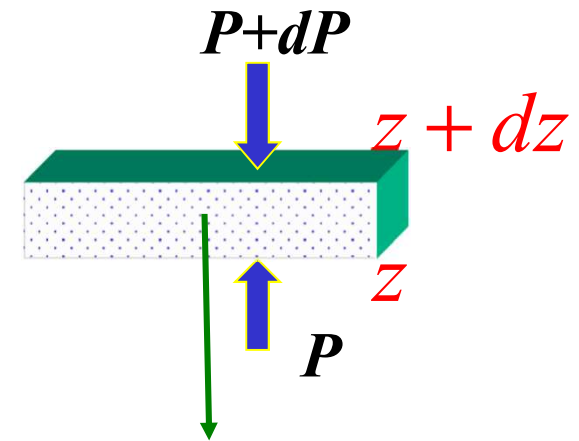
1929年Ruchhardt用此法测出空气和二氧化碳的绝热指数。

大气层的压力与温度随高度的变化

等温大气模型：

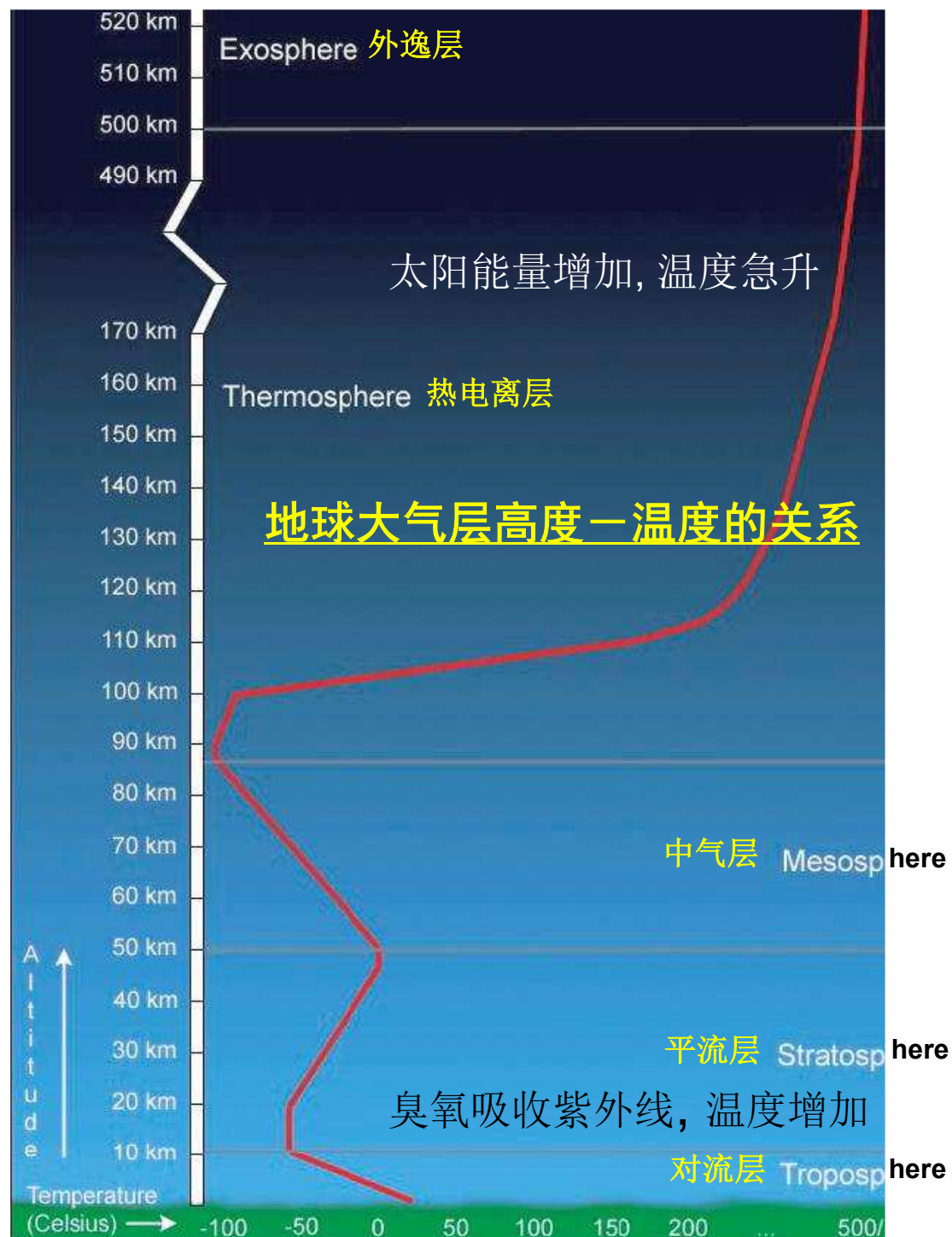
$$p = p_0 e^{-\frac{mgz}{k_B T}}$$

—— 等温气压公式



等温大气系统的压强随高度增大而指数衰减。

实际上大气在垂直方向是有温度梯度的，
所以，等温大气模型与实际不符。



大气

| 气体 | 佔有量 (体积比) | 对生物的益处 |
|------|------------|----------------|
| 氮气 | 78.084 % | 维持植物生长 |
| 氧气 | 20.946 % | 呼吸作用原料、帮助燃烧 |
| 水气 | 0 % ~ 4 % | 形成天气现象、使生物能够存活 |
| 氩气 | 0.934 % | |
| 二氧化碳 | 0.0383 % | 光合作用原料，提供温室效应 |
| 其它气体 | | |
| 臭氧 | 0.000004 % | 抵挡有害的紫外线辐射 |
| 氦气 | 0.000055 % | |

- 因实际对流气体上升缓慢，则过程可视为准静态的；
- 因干燥空气导热性能很差，则过程又可视为绝热的；

所以, 干燥大气的温度垂直分布可用准静态绝热过程模型描述。

由准静态绝热过程方程:

$$pV^\gamma = p_0V_0^\gamma, \quad V = \nu RT / p$$

$$\Rightarrow p^{1-\gamma}T^\gamma = p_0^{1-\gamma}T_0^\gamma$$

$$(1-\gamma)p^{-\gamma}T^{\gamma}dp + \gamma p^{1-\gamma}T^{\gamma-1}dT = 0$$

$$\Rightarrow (1-\gamma)\frac{dp}{p} + \gamma\frac{dT}{T} = 0$$

理想气体： $p = \rho RT / M \Rightarrow \rho = \frac{pM}{RT}$

压强差： $dp = -\rho g dz$

带入，得： $\frac{dp}{p} = -\frac{Mg}{RT} dz,$

$$\frac{dT}{T} = \frac{\gamma-1}{\gamma} \frac{dp}{p} = -\frac{Mg}{RT} \frac{\gamma-1}{\gamma} dz$$

$$dT = \frac{-Mg}{R} \frac{\gamma-1}{\gamma} dz,$$

$$T(z) = T(0) \left[1 - \frac{\gamma-1}{\gamma} \left(\frac{Mg}{RT_0} \right) z \right] \quad \text{----线性函数}$$

$$p = p_0 (T / T_0)^{\frac{\gamma}{\gamma-1}}, \quad p(z) = p_0 \left[1 - \frac{\gamma-1}{\gamma} \left(\frac{Mg}{RT_0} \right) z \right]^{\frac{\gamma}{\gamma-1}}$$

当 $\gamma \rightarrow 1$ 时, 上式回到等温压强公式:

$$p = p_0 e^{-\frac{mgz}{k_B T}}$$

由
$$T(z) = T(0) \left[1 - \frac{\gamma-1}{\gamma} \left(\frac{Mg}{RT_0} \right) z \right]$$

$$\frac{dT}{dz} = - \frac{\gamma-1}{\gamma} \frac{Mg}{R}$$

没有考虑水分的影响，称为**干绝热递减率**
(Dry Adiabatic Lapse Rate, DALR)。

空气： $\gamma = 1.4$, $\bar{\mu} = 29 \times 10^{-3} \text{ kg / mol}$

得：大气的绝热递减率：

$$dT / dz = -9.8 \text{ K / km} \sim -10 \text{ K / km}$$

考虑水蒸气的凝结，可得出**饱和绝热递减率**：

$$\frac{dT}{dz} = -\frac{\gamma-1}{\gamma} \left[\frac{\bar{\mu}g}{R} + \frac{\Lambda_{vp}^{mol}}{R} \frac{dc_{vp}}{dz} \right]$$

饱和绝热递减率

Saturated Adiabatic Lapse Rate (SALR)

$$c_{vp} = V_g / V \quad \text{空气中水蒸气浓度}$$

$$\Lambda_{vp}^{mol} \quad \text{水蒸气摩尔汽化热}$$

干绝热递减率 (DALR)

$$\frac{dT}{dz} = -\frac{\gamma-1}{\gamma} \frac{Mg}{R}$$

饱和绝热递减率 (SALR)

$$\frac{dT}{dz} = -\frac{\gamma-1}{\gamma} \left[\frac{\bar{\mu}g}{R} + \frac{\Lambda_{vp}^{mol}}{R} \frac{dc_{vp}}{dz} \right]$$

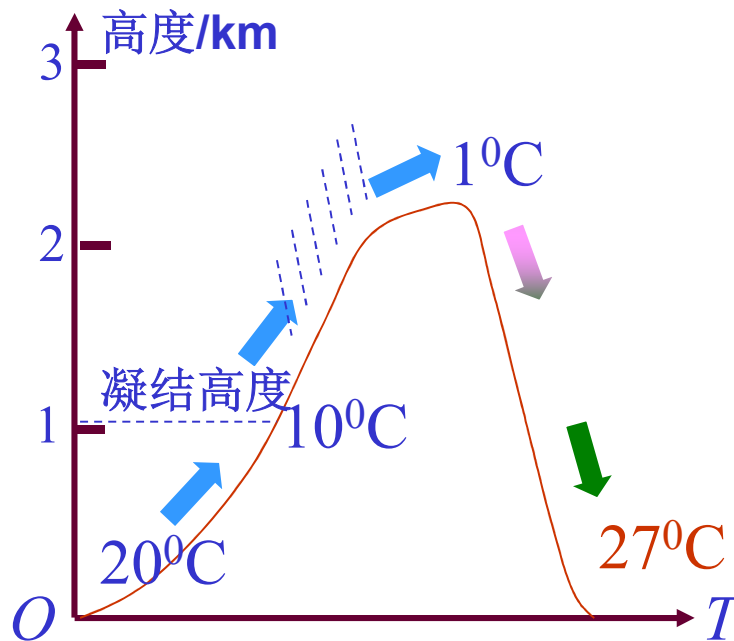
因为 $dc_{vp} / dz < 0$,

所以 $|SALR| < |DALR|$

可讨论焚风的机制。

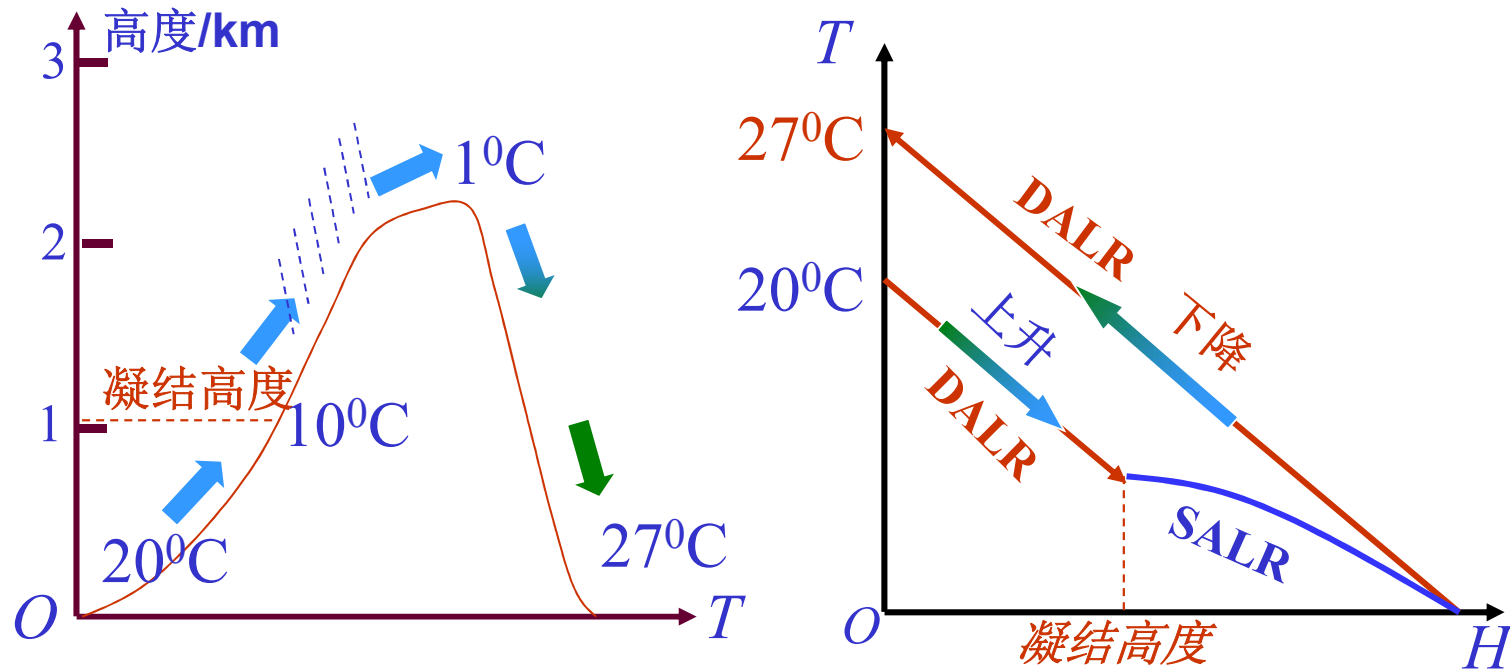
焚风(Foehn)现象

焚风(Foehn): Alps山区发生的干热风。



- 潮湿空气上升，温度不断下降，
- 由于饱和蒸汽压随 T 而减小，水蒸汽达到凝结高度变为饱和，开始凝结并降雨。
- 空气越过Alps山后成为干热风。

焚风现象的物理解释



$$|SALR| < |DALR|$$

- 开始上升时是 **DALR** 干绝热递减率
- 上升到凝结高度后是 **SALR** 饱和绝热递减率
- 下降时又是 **DALR**;
- **DALR** 的绝对值大, T 变化大, 下降时同一高度的 T 更高。

第四章 作业

p.162 1, 2, 3, 4, 5,

8,10,14,15,18,19,24,25